

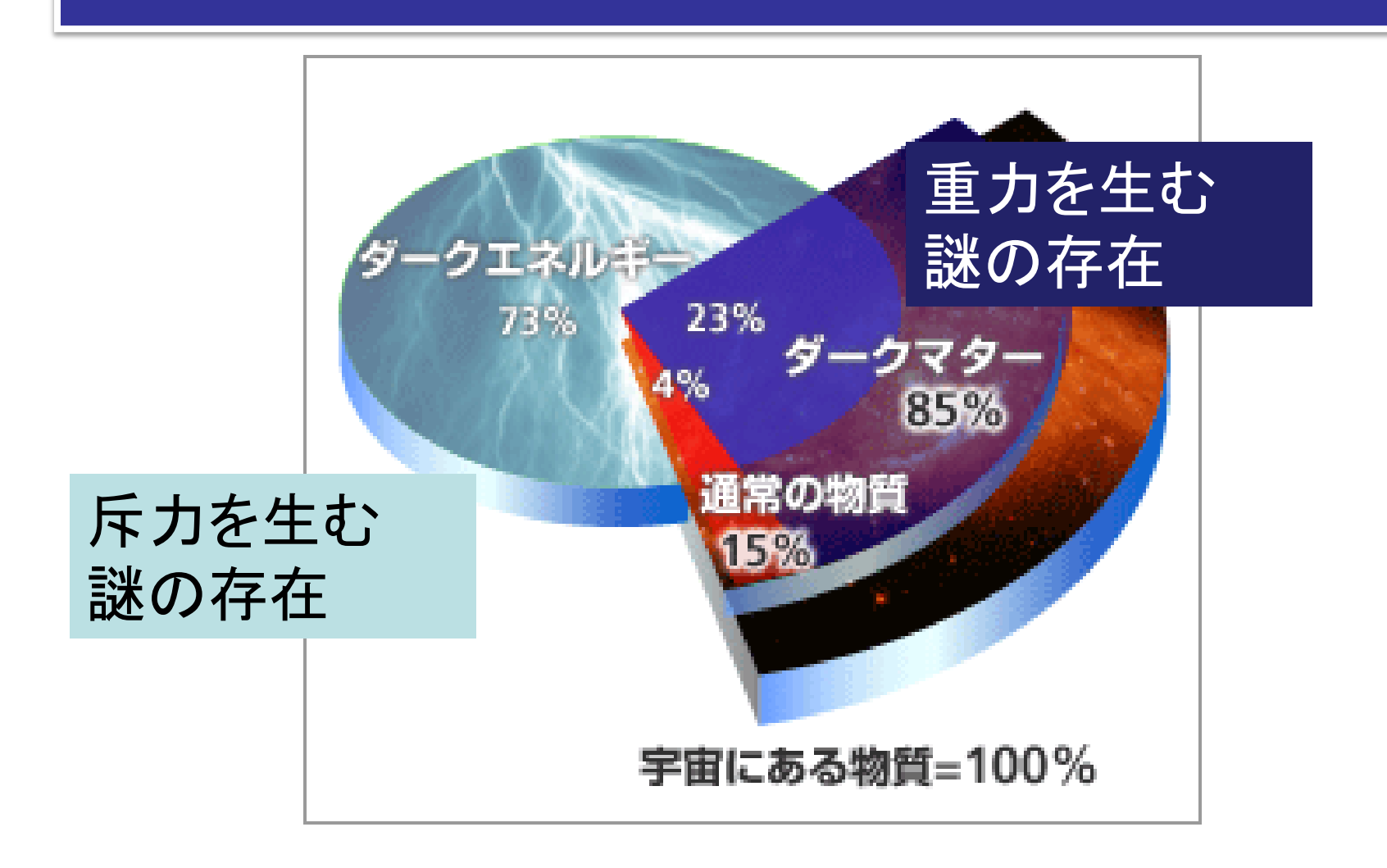
修正重力による銀河の力学進化 モファット重力の N体計算を用いた検証



山口大学大学院理工学研究科自然科学基盤系専攻 素粒子理論·宇宙論研究室 博士後期課程2年

鈴木 隆之

現代宇宙論の大きなテーマ宇宙の96%は謎の存在



謎の"モノ" が存在するのではなく

法則を変えれば万事 解決するのではないのか?

スカラー・テンソル・ベクトル重力理論(Moffat 2005)

The Scalar-Tensor-Vector-Gravity (STVG)の作用

$$S = S_G + S_{\varphi} + S_S + S_M$$
.

$$S_G = -\frac{1}{16\pi} \int \frac{1}{G} (R + 2\Lambda) \sqrt{-g} d^4x,$$

$$S_{\phi} = -\int \omega \left[\frac{1}{4} B^{\mu\nu} B_{\mu\nu} - \frac{1}{2} \mu^2 \phi_{\mu} \phi^{\mu} + V_{\phi}(\phi) \right] \sqrt{-g} d^4 x,$$

$$S_{_{S}} = -\int \frac{1}{G} \Bigg[\frac{1}{2} g^{\mu\nu} \Bigg(\frac{\nabla_{\mu} G \nabla_{\nu} G}{G^2} + \frac{\nabla_{\mu} \mu \nabla_{\nu} \mu}{\mu^2} - \nabla_{\mu} \omega \nabla_{\nu} \omega \Bigg) + \frac{V_{_{G}}(G)}{G^2} + \frac{V_{_{\mu}}(\mu)}{\mu^2} + V_{_{\omega}}(\omega) \Bigg] \sqrt{-g} d^4x.$$



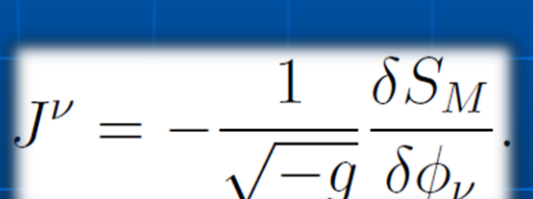
Λ:宇宙項

Φ_μ(x):質量のあるベクトル場→物質場と直接結合をもつ

- ω(x):スカラー場(ベクトル場と物質の結合を決定)
- μ(x):スカラー場(ベクトル場の質量に相当)

•
$$B_{\mu\nu} = \partial_{\mu} \varphi_{\nu} - \partial_{\nu} \varphi_{\mu}$$

V_φ(φ), V_G(G), V_ω(ω) V_μ(μ) 自己相互作用ポテンシャル



MOGの重力加速方程式

•MOGの測地線方程式

$$m\left(\frac{du^{\mu}}{ds} + \Gamma^{\mu}_{\alpha\beta}u^{\alpha}u^{\beta}\right) = -\alpha \kappa \omega mB^{\mu}_{\nu}u^{\nu}.$$

•弱場における重力加速度方程式

$$\frac{d^2r}{dt^2} = -\frac{G_N M}{r^2} \left[1 + \alpha - \alpha \left(1 + \mu r \right) e^{-\mu r} \right],$$

$$\alpha = \frac{M}{(\sqrt{M} + E)^{2}} \left(\frac{G_{\infty}}{G_{N}} - 1\right), \qquad \mu = \frac{D}{\sqrt{M}}, \qquad E \cong 25000 M_{\odot}^{1/2} \text{kpc}^{-1},
G_{\infty} \cong 20 G_{N},
\frac{d^{2}r}{c^{2}r^{2}} = -\frac{G_{\text{eff}} M}{r^{2}}, \qquad G_{\text{eff}} = G_{N} \left[1 + \alpha - \alpha (1 + \mu r) e^{-\mu r}\right].$$

key point : ベクトル場は

物質と直接結合→ 測地線方程式にベクトル場起因の外力項 質量をもつ→ 有効到達距離をもつ第五の力 湯川型 exp(-r)

中心質量~銀河質量程度10¹⁰M_☉の場合

実効重力定数は1/μ

 $\mathbf{G}_{\mathrm{eff}}$ $\mathbf{G}_{\mathrm{eff}} = \mathbf{G}_{\mathrm{N}} \left[1 + \alpha - \alpha \left(1 + \mu \, r \right) \mathrm{e}^{-\mu \, r} \right]$. $\mathbf{G}_{\mathrm{eff}}$ 強い重力のみが残る

(=λベクトル場の有効到達距離) 当たりで階段状に変化、その後は一定 **Moffatらの主張**:

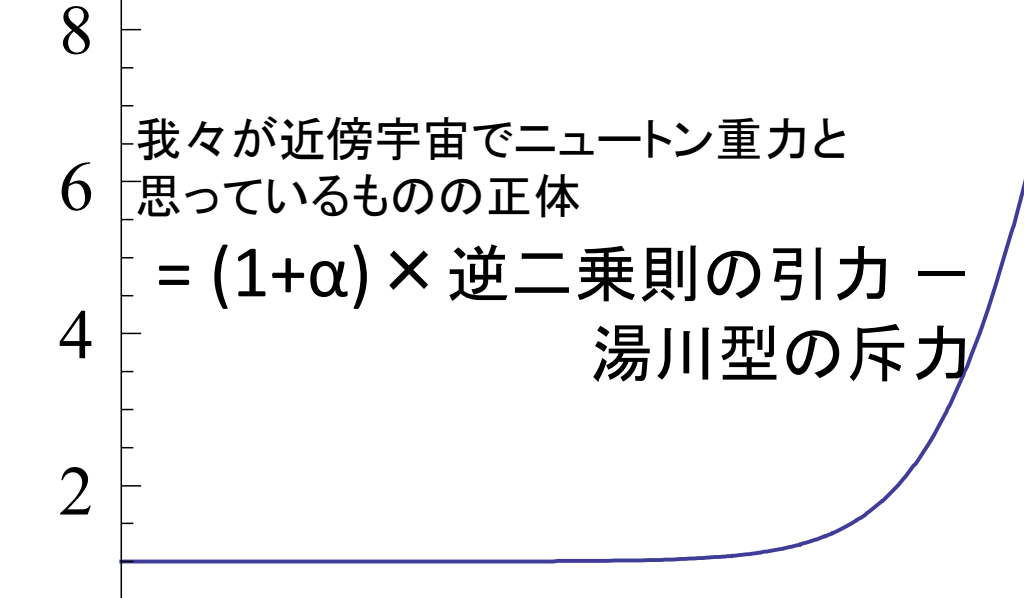
10

この「強い重力」の効果を 我々は「ダークマター」と 認識しているのではないのか

1000

100

kpc



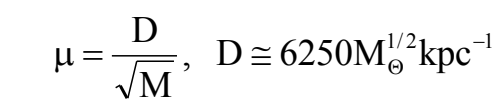
0.1

12

10

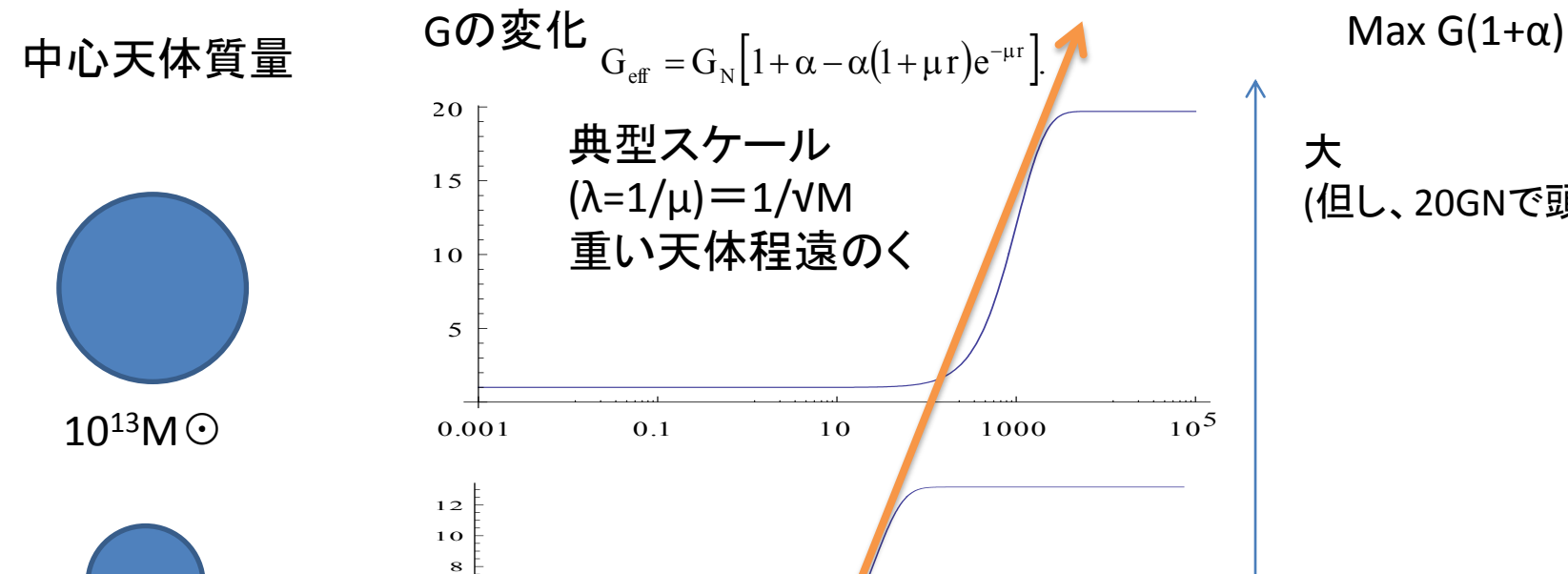
0.01

中心天体の質量に応じて、典型スケールとMaxGが変化する!!



105

1000



(但し、20GNで頭打ち)

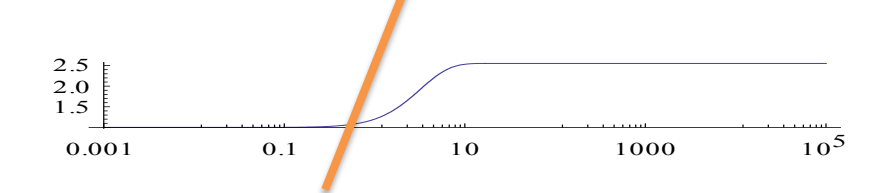


10¹⁰M ⊙

4

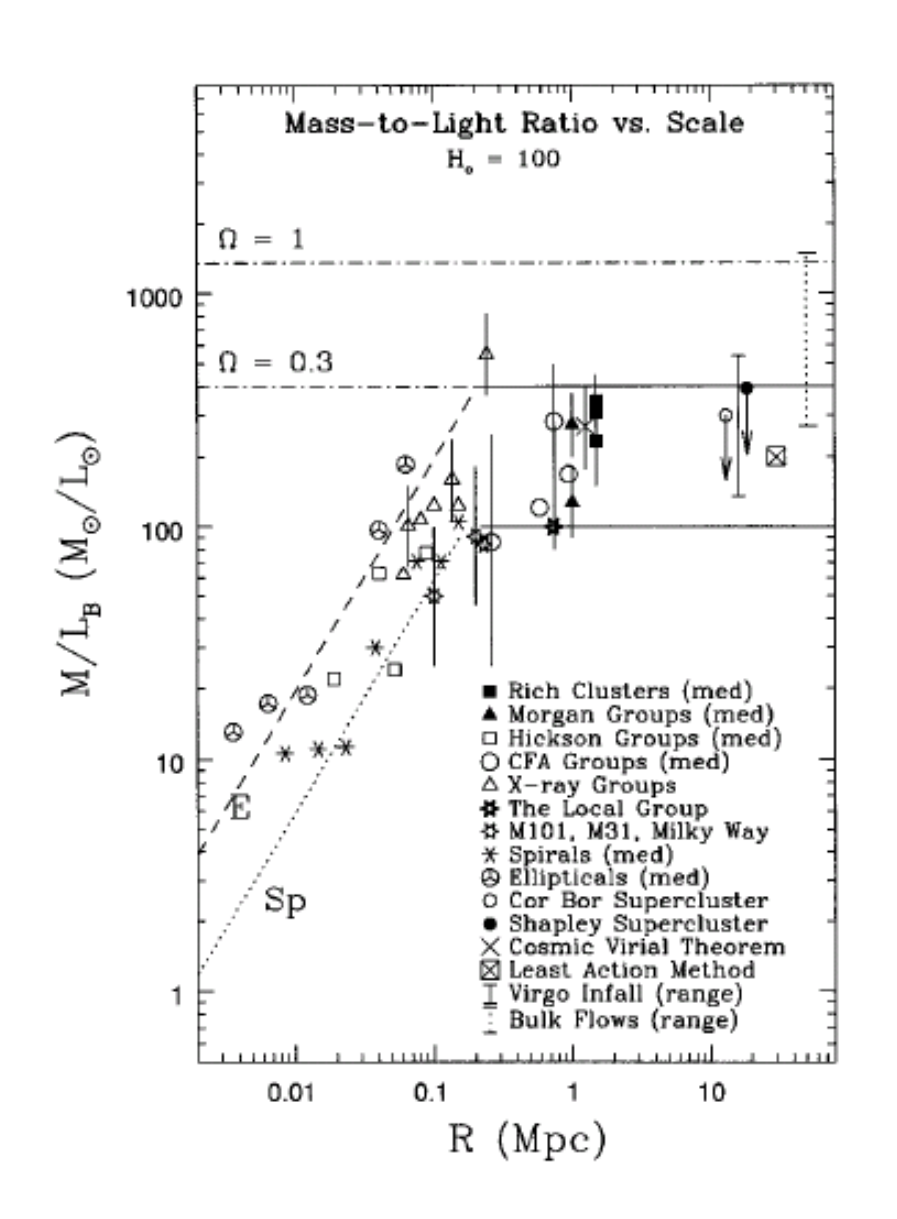
0.001

0.1



小 10^6M⊙以下の軽い天体では 全スケールでニュートン重力

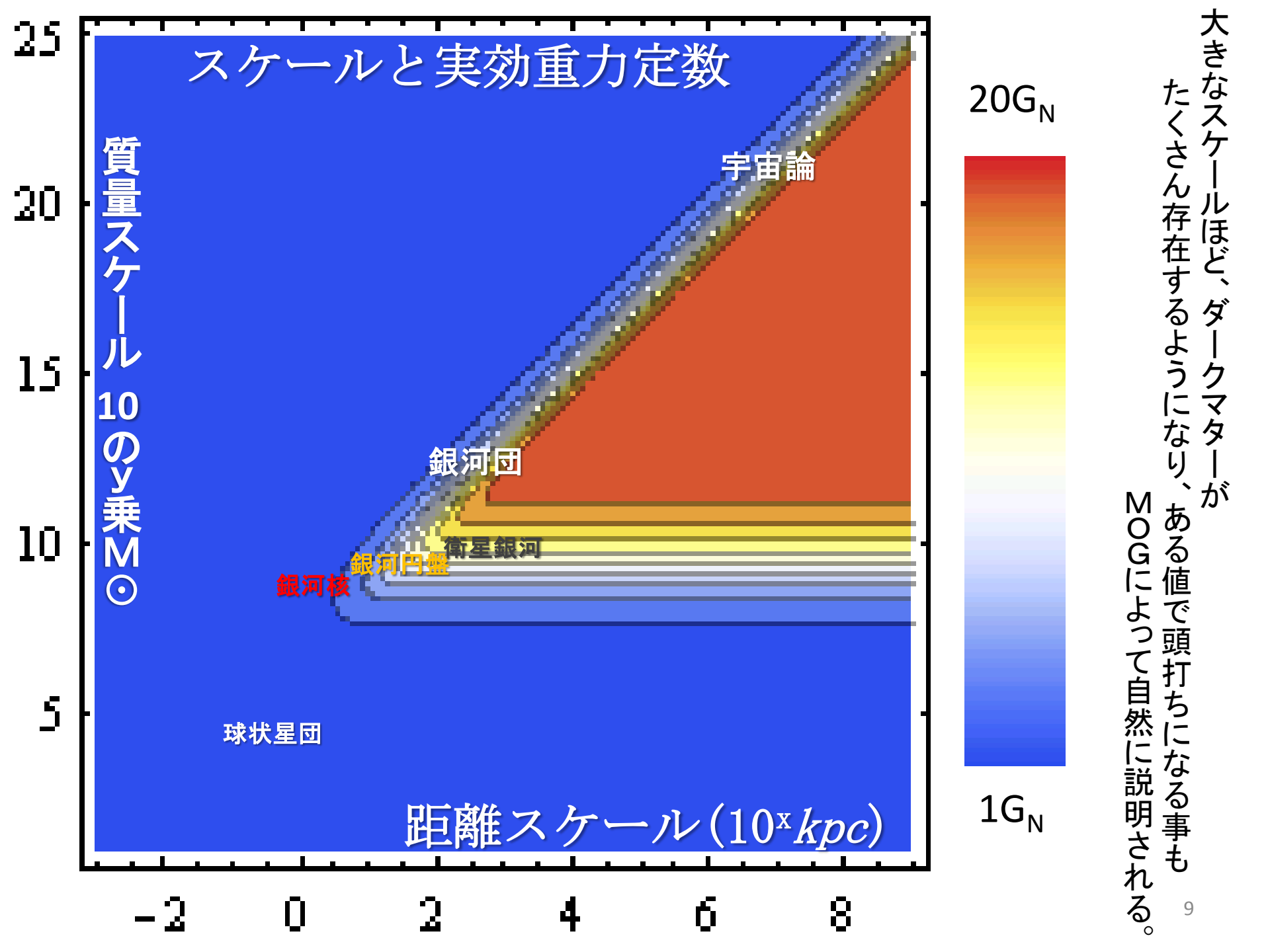
ダークマターと宇宙のスケール



一般的に、ダークマターは 銀河よりも銀河団・・・と 大きなスケールに於いて 存在比を増加させる。

だが、あるスケール(0.2Mpc) よりも大きなスケールに於いては 存在比は一定となる。

その値は宇宙論的に推定される Ω_m =0.3とほぼ同等である。



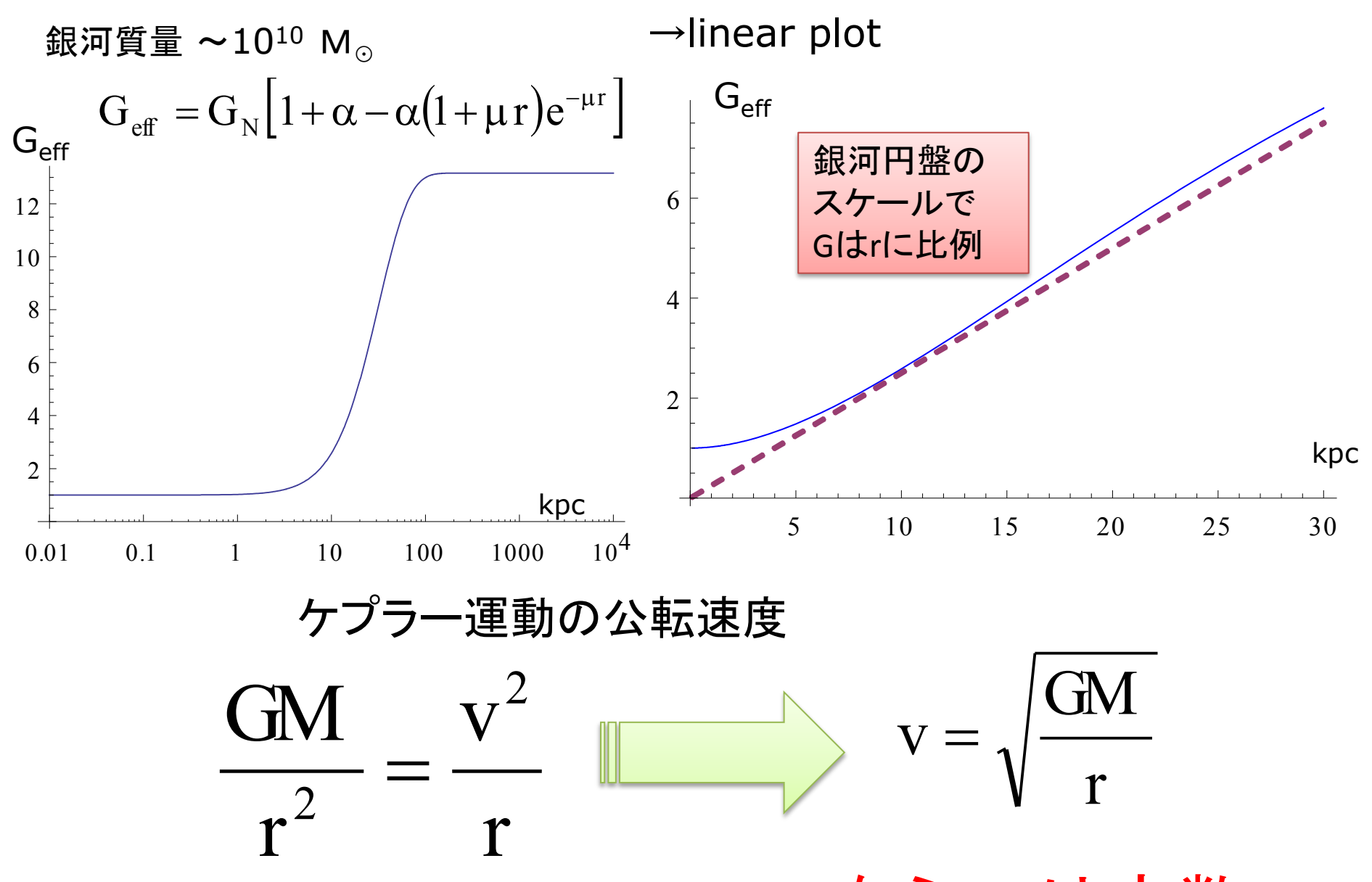
現時点で

- Gravitational lensing data for galaxies and clusters of galaxies;
- The Bullet Cluster 1E0-657-56 and the merging clusters Abell 520 and MACS J0025.4
- 1222; (Mon.Not.Roy.Astron.Soc. **382**: 29–47,)
- CMB power spectrum data(WMAP); arXiv:0710.0364
- 摂動計算による構造形成予測とSDSSデータ; arXiv:0710.0364
- The accelerating expansion of the universe. (Type Ia supernova z<2) arXiv:0710.0364

以上のデータとconsistentと主張

但し、全てMoffat 自身の研究に基づく

どうして、MOGなら銀河のダークマターなしに平らな回転曲線が説明できるか?



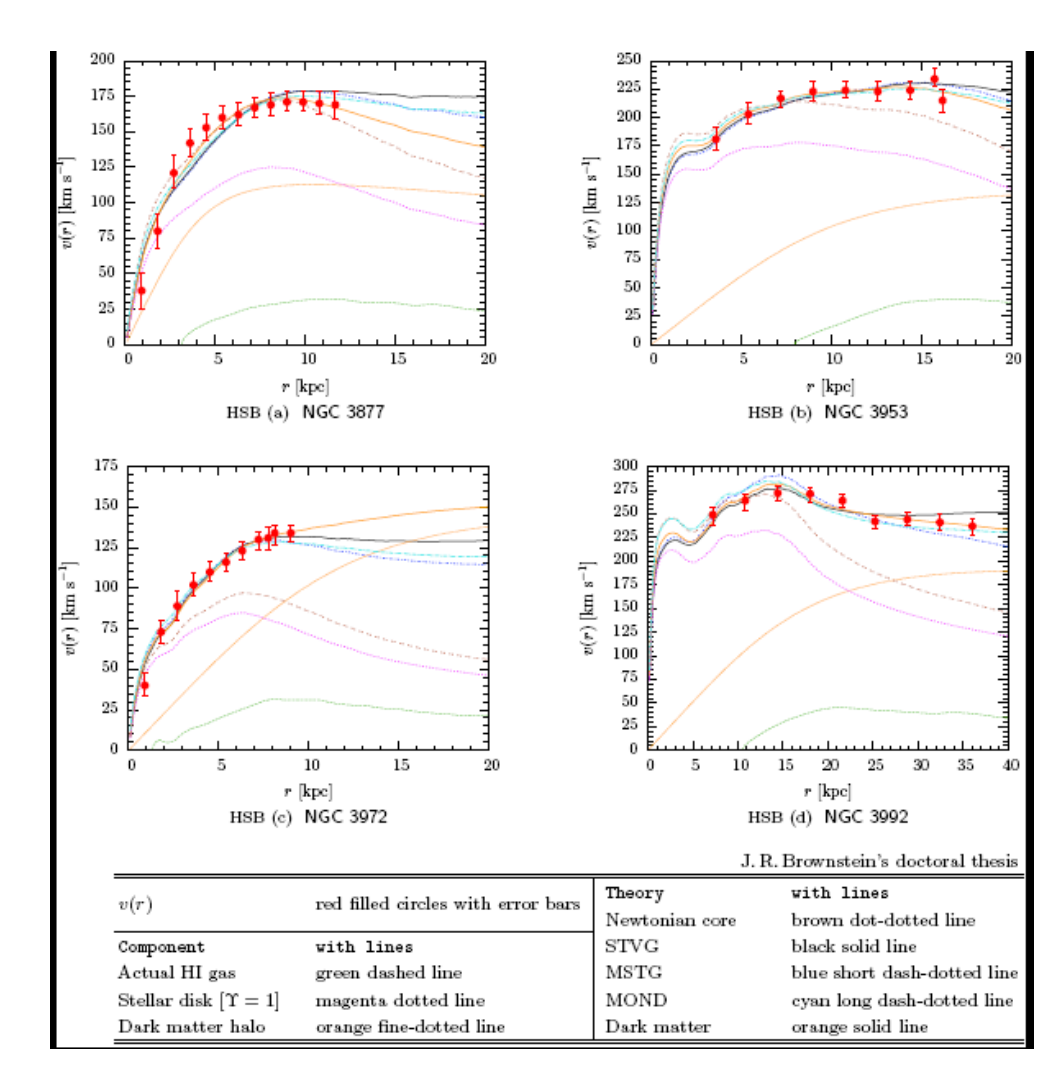
G∝rなら, v は定数

100個程度の銀河の観測される回転曲線と一致する。

Moffat says —

- A fitting routine has been applied to fit a large number of galaxy rotation curves (101 galaxies), using photometric data (58 galaxies) and a core model (43 galaxies) (Astrophys. J. 636: 721–741
- J. R. Brownstein and JWM, 2005; J. R. Brownstein, 2009).
- The fits to the data are remarkably good for STVG.

For the photometric data, only one parameter, the mass-to-light ratio M/L, is used.



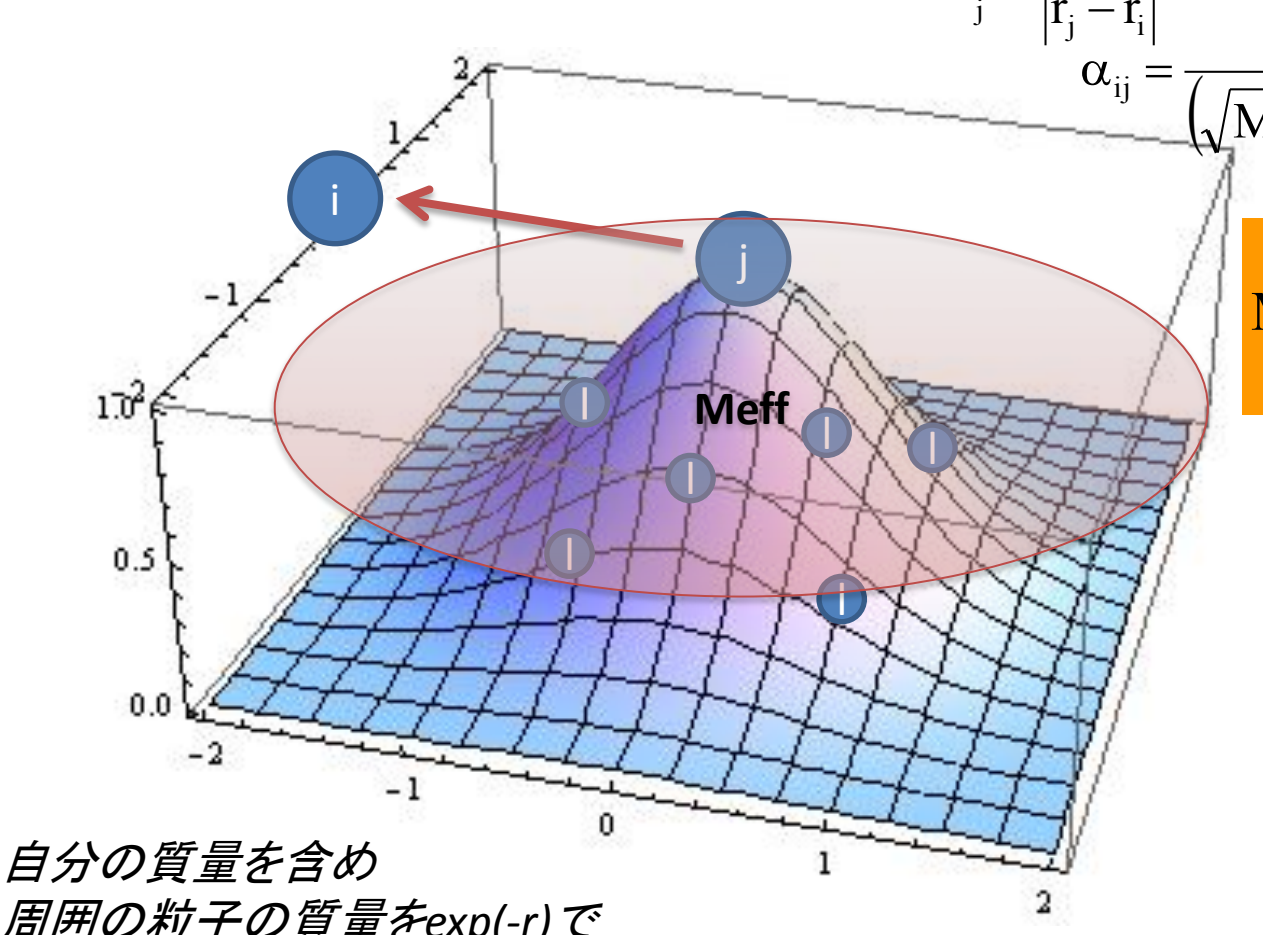
但しこれらは、「静」力学的な観点からの議論に留まり、 「動」的な実際の銀河の力学進化をシミュレーションで検証したい →本研究の目的

本研究の紹介へ

MOGでN体計算するには

• j粒子からi粒子への力
$$a_{i} = -G_{N} \sum_{j} \frac{(r_{j} - r_{i})m_{j}}{\left|r_{j} - r_{i}\right|^{3}} \left\{1 + \alpha_{ij} \left(1 - \left(1 + \mu \left|r_{j} - r_{i}\right|\right) e^{-\mu_{ij} \left(\left|r_{j} - r_{i}\right|\right)}\right)\right\}$$

$$\alpha_{ij} = \frac{M_{eff}}{\left(\sqrt{M_{eff}} + E\right)^{2}} \left(\frac{G_{\infty}}{G_{N}} - 1\right), \mu_{ij} = \frac{D}{\sqrt{M_{eff}}}$$



$$M_{eff} = \sum_{l} m_{l} \exp(-\xi \frac{|r_{l} - r_{j}|}{|r_{j} - r_{i}|})$$

MNRAS 397 (2009) 1885-1992.

The bending of light and lensing in modified gravity]

Authors: J. W. Moffat, V. T. Toth

周囲の粒子の質量をexp(-r)で 軽み付けをして足し上げる

二体間の力を計算するために、全粒子の情報がその都度必要 \rightarrow N^3 \bigcirc 計算

本研究での計算手法

$$a_{i} = -G_{N} \sum_{j} \frac{(r_{j} - r_{i})m_{i}}{\left|r_{j} - r_{i}\right|^{3}} \left\{ 1 + \alpha_{ij} (1 - (1 + \mu_{ij} \left|r_{j} - r_{i}\right|) e^{-\mu_{ij} (\left|r_{j} - r_{i}\right|)}) \right\}$$

$$\alpha_{ij} = \frac{19M_{eff}}{\left(\sqrt{M_{eff}} + E\right)^{2}}, \ \mu_{ij} = \frac{D}{\sqrt{M_{eff}}}$$

$$M_{eff} = \sum_{l} m_{l} \exp(-\xi \frac{|r_{l} - r_{j}|}{|r_{j} - r_{i}|})$$

$$D = 6250M_{\Theta}^{1/2} \text{kpc}^{-1}; M = 25000M_{\Theta}^{1/2}$$

- ・ 本研究では上記のSTVG加速度方程式に基づき 二粒子間の重力を全て計算する
 - 粒子数 2048 (N3の計算量を必要とするため大規模計算はできない)

本研究の初期パラメータ

- ▶ ディスクのみをN体計算
 - ∘ ガスや星形成は入れない(pure *N*-body)
- ▶ 6Gry(~60億年)の力学進化を計算
 - □単位系

1R	40kpc
1 M	$4 \times 10^{10} M_{\odot}$
1T	0.6Gry
1 V	65km/s

ディスク

• Exponential disk
$$\rho(r) = \exp(-r/R_d)$$

$$R_d = 4.0 \text{ kpc}$$

$$\cdot$$
 Z_d = 0.4 kpc

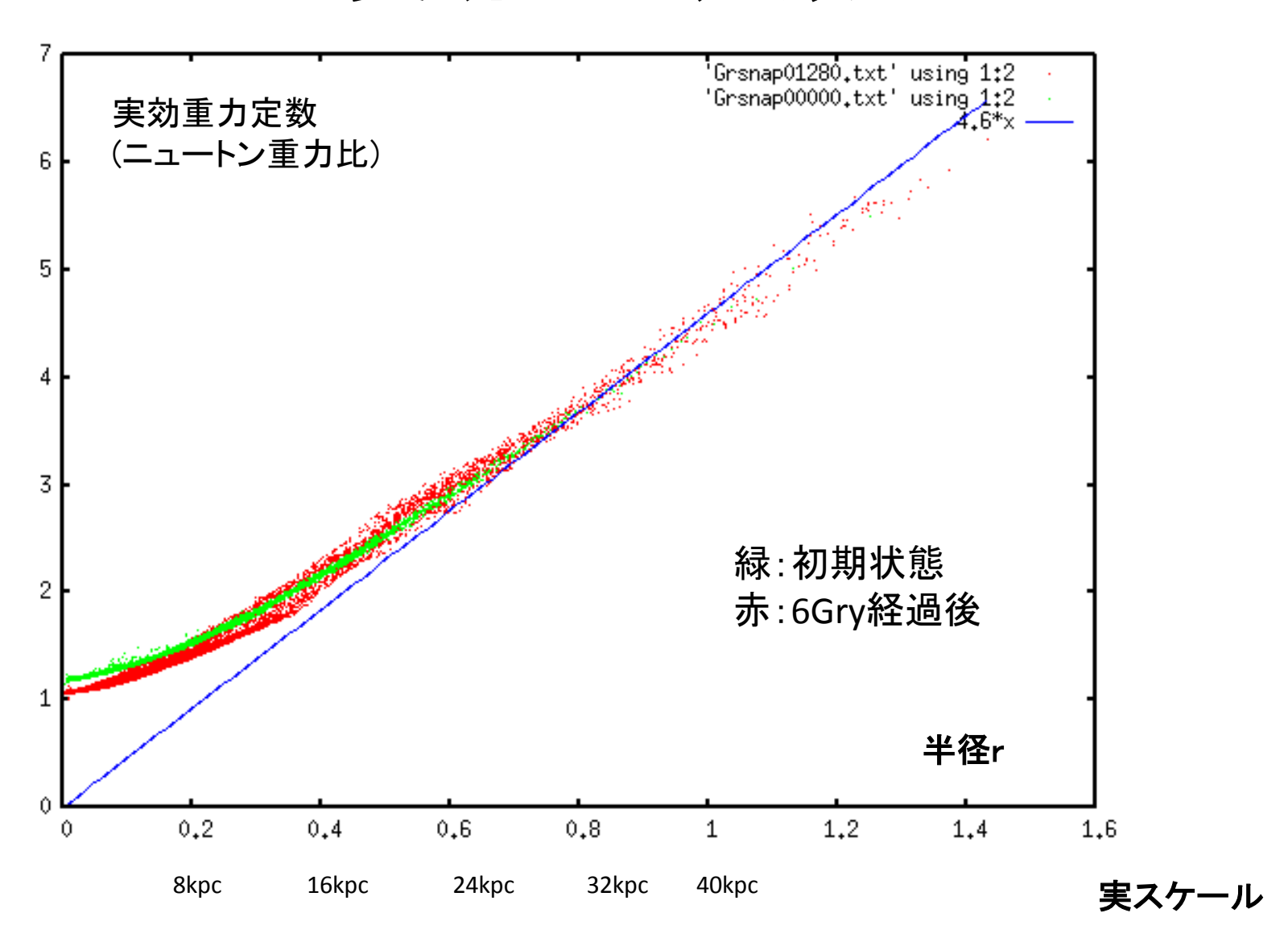
$$M_{\rm d} = 4 \times 10^{10} {\rm M}_{\odot}$$

•
$$\epsilon = 1.25$$
kpc

$$^{\circ}$$
 N = 2048

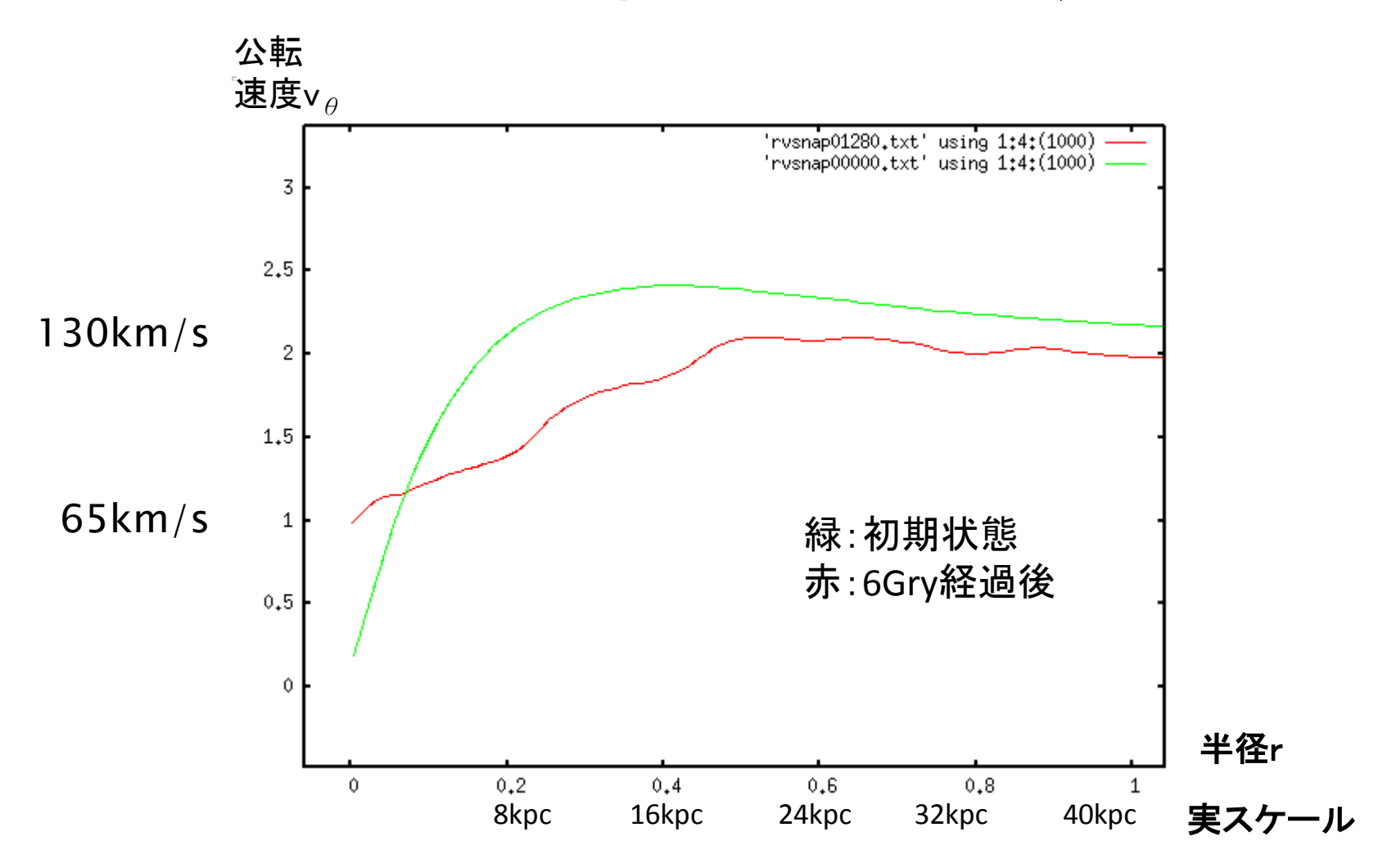
計算機:汎用PC@CfCA

実効重力定数



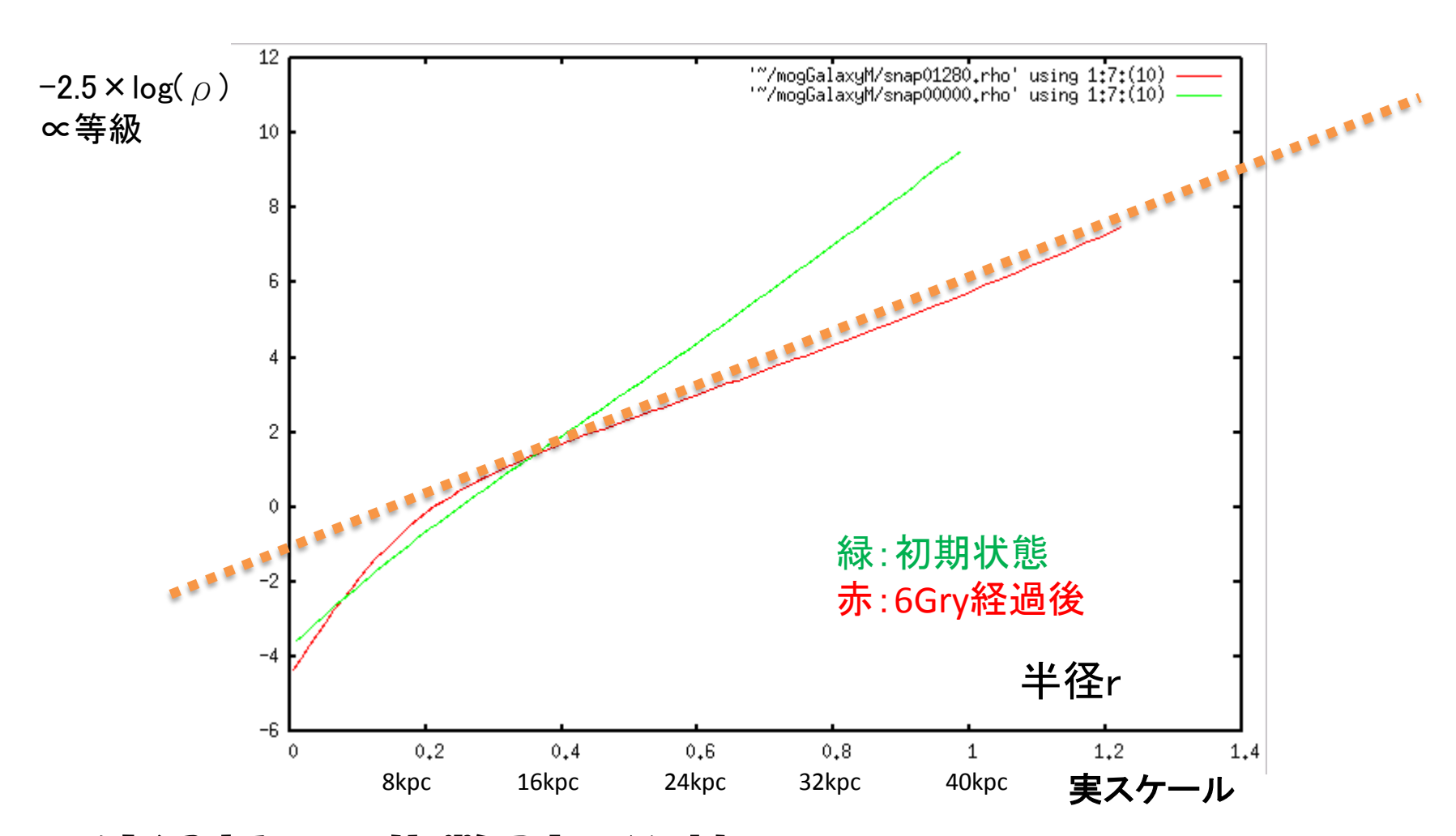
実効重力定数が外縁部で G∝r→平坦な回転曲線

回転曲線の時間発展

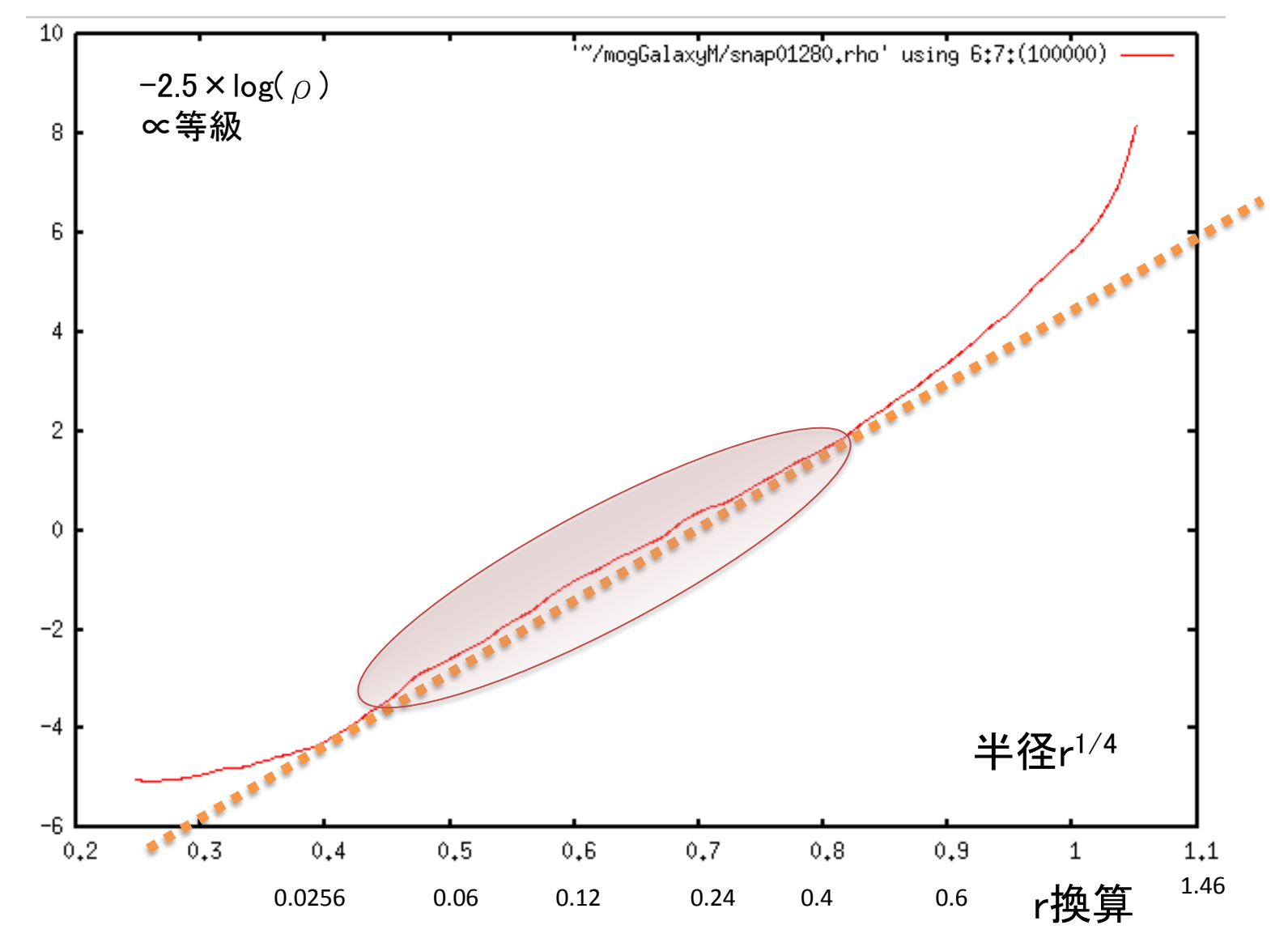


速度は落ちるが、平坦な回転曲線を維持

輝度分布の時間発展

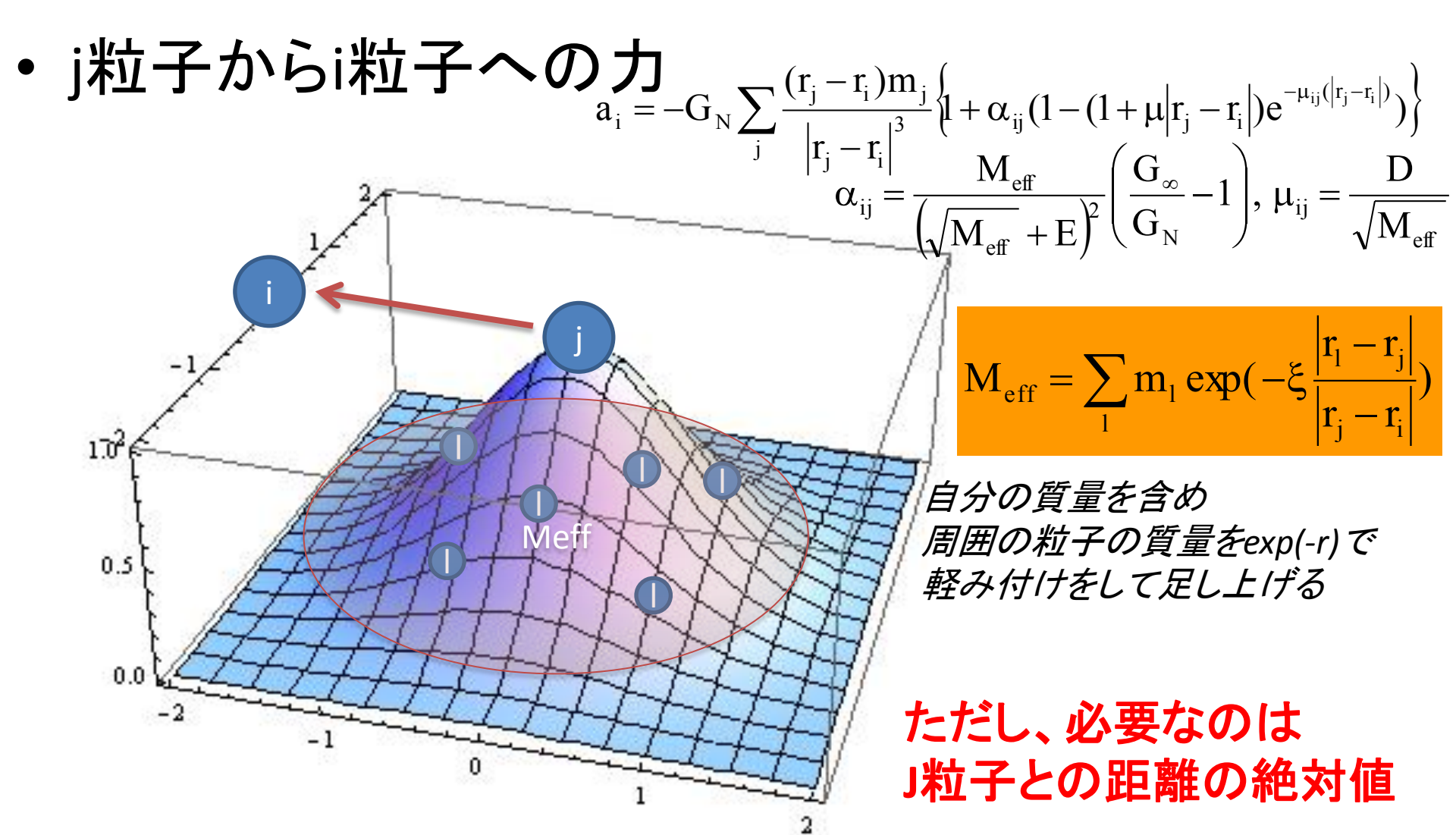


外縁部では指数則を維持、しかし 内側では指数則からのずれが生じてしまう・・・



中心部ではde Vaucouleurs則になっている。

再掲: MOGでのN体計算



二体間の力を計算するために、全粒子の情報がその都度必要 → N3の計算量

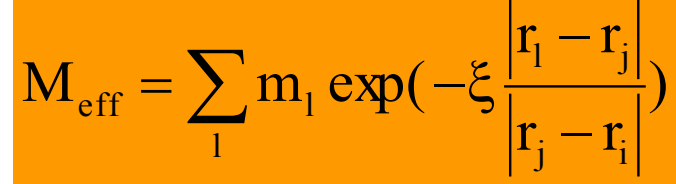
Mass Shellを用いた近似で計算量の節約が可能

$$a_{i} = -G_{N} \sum_{j} \frac{(r_{j} - r_{i})m_{i}}{|r_{j} - r_{i}|^{3}} \left\{ 1 + \alpha_{ij} (1 - (1 + \mu_{ij} | r_{j} - r_{i} |) e^{-\mu_{ij} (|r_{j} - r_{i}|)}) \right\}$$

$$\alpha_{ij} = \frac{19M_{eff}}{(\sqrt{M_{eff}} + E)^{2}}, \ \mu_{ij} = \frac{D}{\sqrt{M_{eff}}}$$

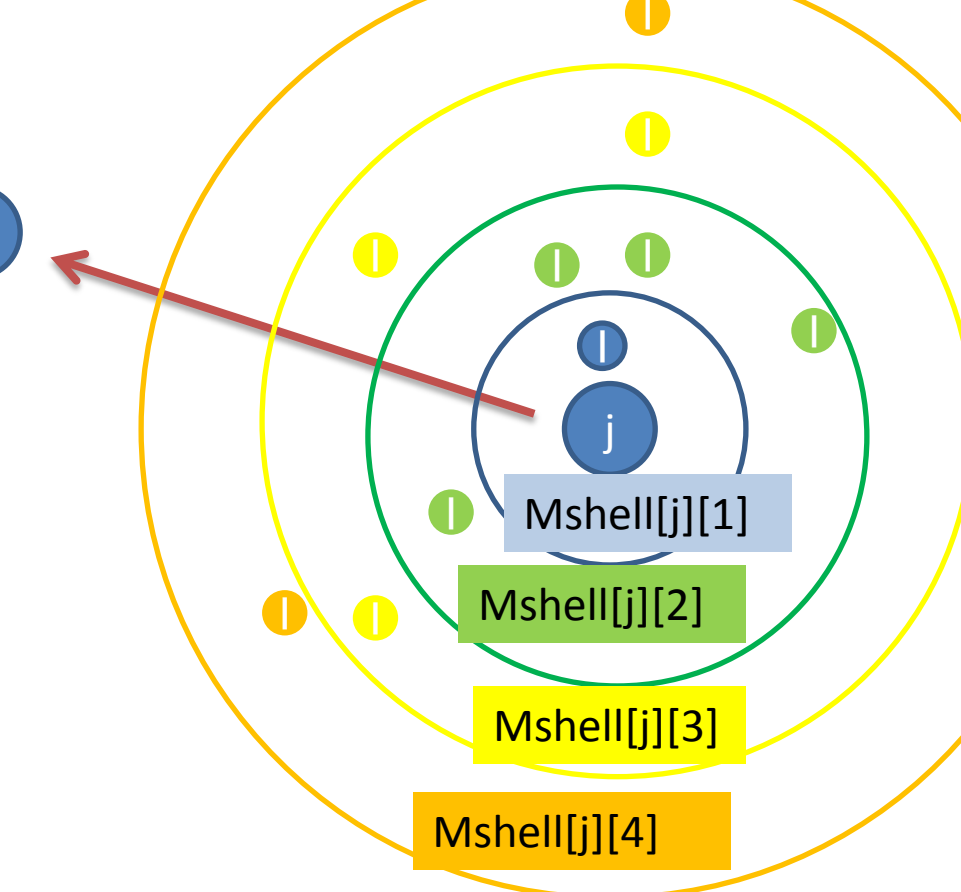
$$M_{eff} = \sum_{l} m_{l} ex$$

$$\alpha_{ij} = \frac{19M_{eff}}{(\sqrt{M_{eff}} + E)^2}, \ \mu_{ij} = \frac{D}{\sqrt{M_{eff}}}$$





$$M_{eff} = \sum_{Nshell} M_{shell}[rshell] exp(-\xi \frac{|r_l - r_j|}{|rshell})$$



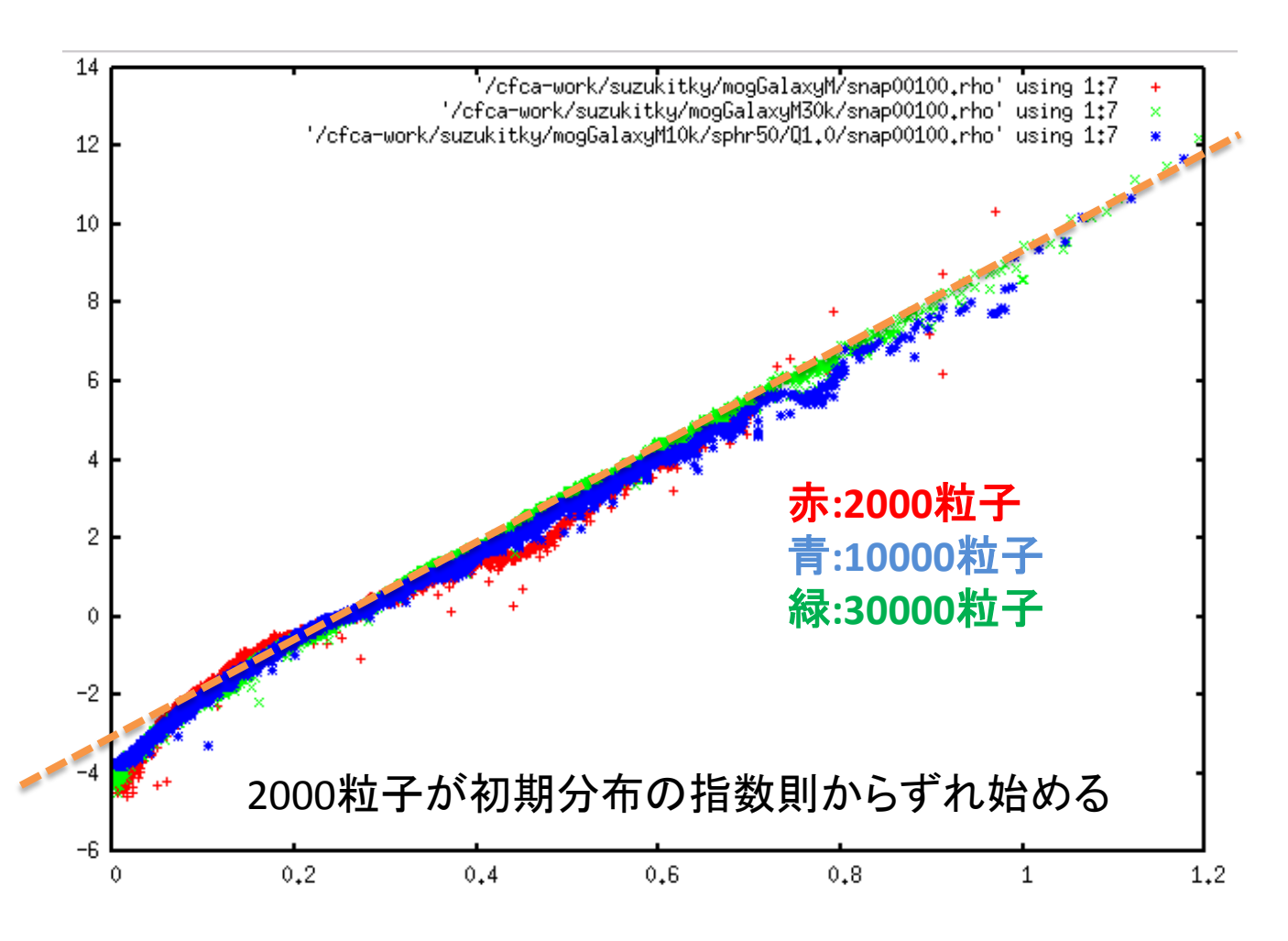
N3の計算量 Nshell × N²

指数則のため遠方の粒子は 実質カットオフ→Nはそう多くなくて良い

近似を使い粒子数を増やすと

- mass shell を用いた近似で、N=10000,30000を計算
 - > 引き続き平坦な回転曲線は維持される。
 - ▶ 問題の輝度分布は・・・・

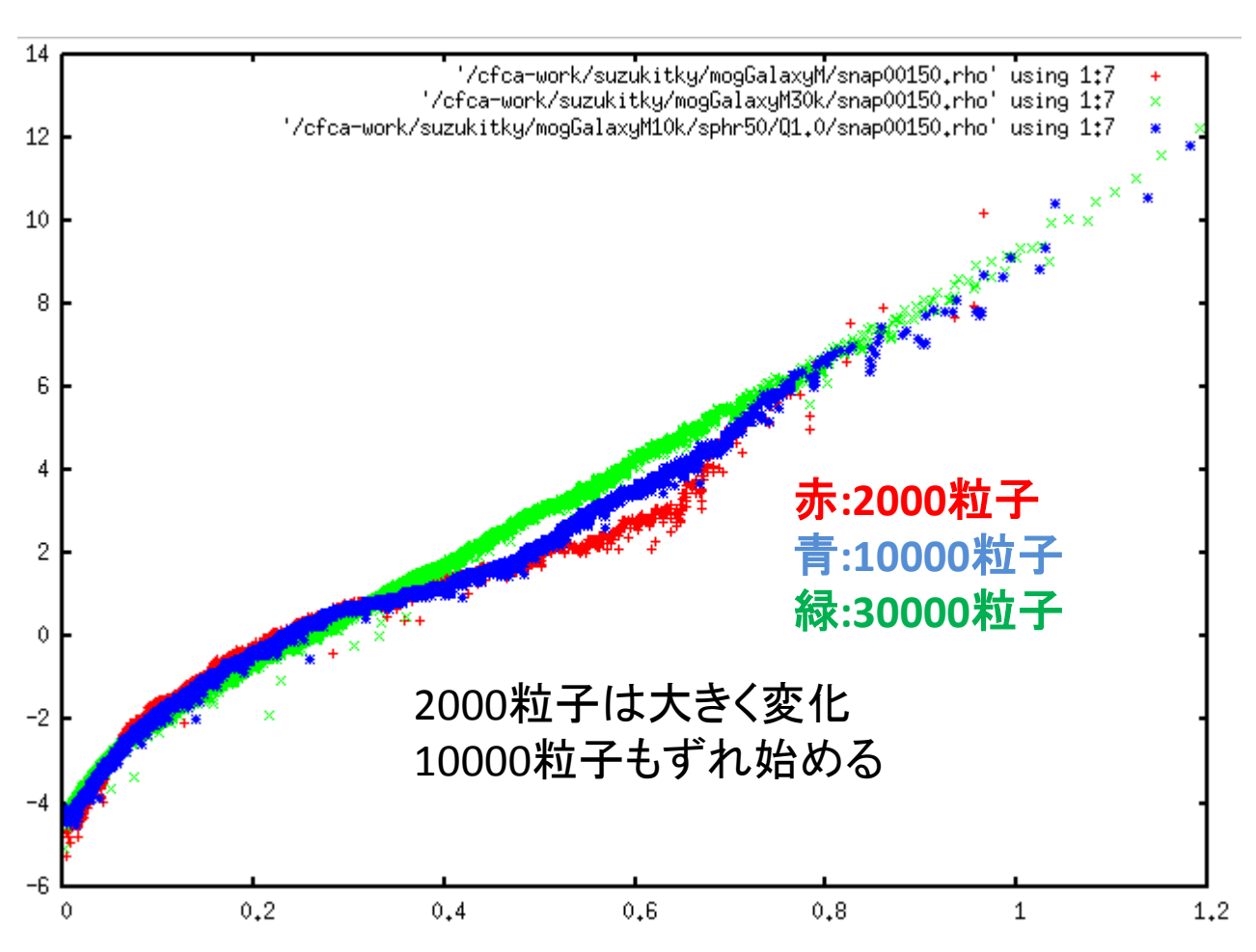
0.46Gry経過



近似を使い粒子数を増やすと

- mass shell を用いた近似で、N=10000,30000を計算
 - ▶ 引き続き平坦な回転曲線は維持される。
 - ▶ 問題の輝度分布は・・・・

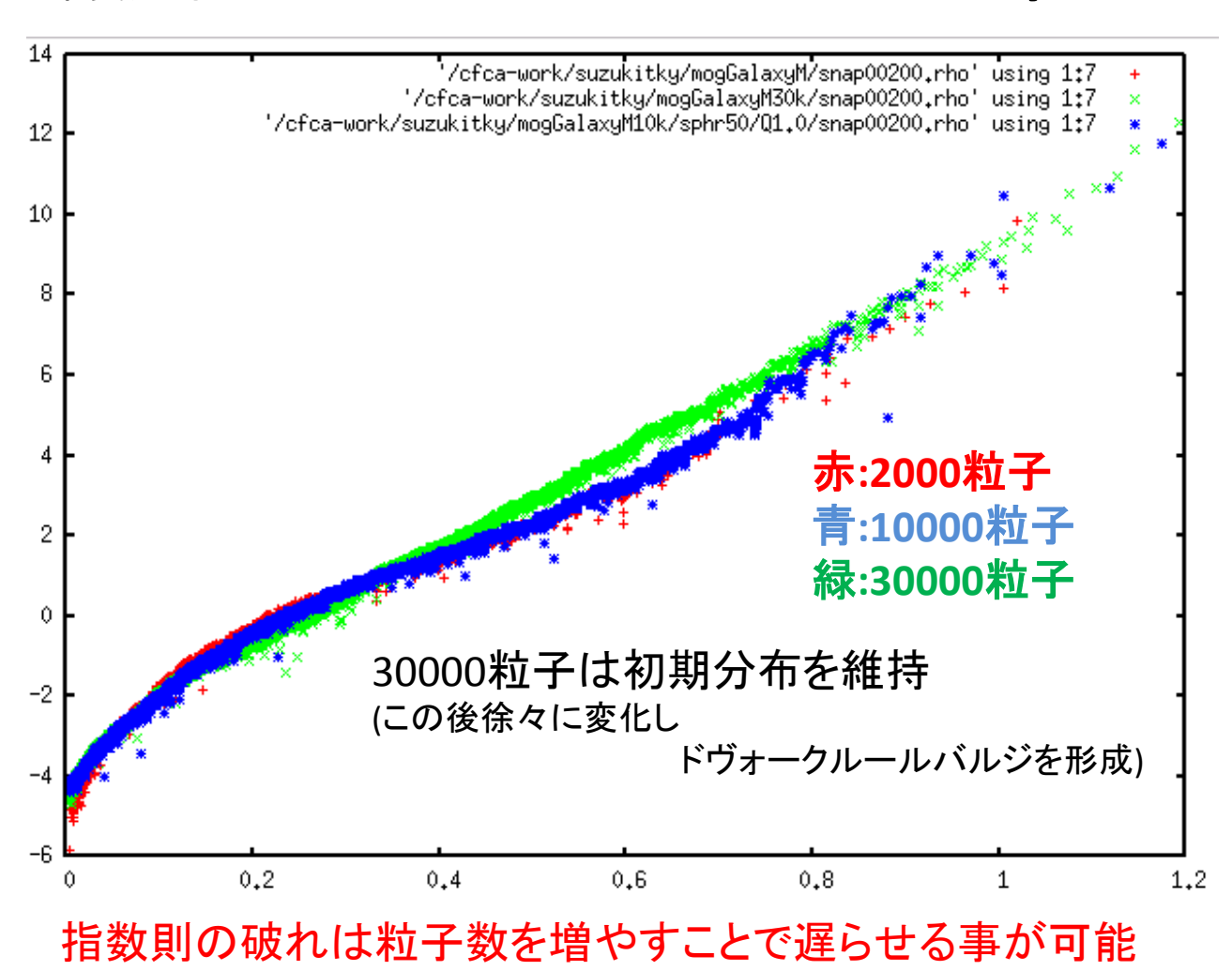
0.7Gry経過



近似を使い粒子数を増やすと

- mass shell を用いた近似で、N=10000,30000を計算
 - > 引き続き平坦な回転曲線は維持される。
 - ▶ 問題の輝度分布は・・・・

0.92Gry経過



まとめと考察・今後の課題

- ◆ ダークエネルギーとダークマターを統一的に説明できるとされるモファットの重力理論
 - ▶ あらゆるスケールのダークマターを実効重力定数の変化で説明する
 - ▶ すでに、様々な観測との比較が行われ、よい一致を見ている
 - ➤ 本研究はモファットの理論をN体計算の視点から検証する事
- ◆ モファット重力による渦巻き銀河のN体シミュレーション
- 銀河系と同じパラメータの円盤銀河を初期条件にN体シミュレーションを MOGの弱場方程式で実施、6Gyrの時間発展を追う(計算量大のため粒子数は限られる)
 - 平坦な回転曲線は6Gyrに亙り維持 〇
 - 中心の輝度分布は指数則からドヴォークルール則へ△(外周部分は安定〇)
 →バルジ(一般にドヴォークルール則)を含めた系で安定が成立するならOK?
 指数則のpseudo bulgeやバルジを殆ど持たない銀河を考えるとexponential disk 単体での安定性はやはり必要
- Mass shellを用いた近似計算(計算量の節減→粒子数を増やせる)
 - ▶ ドヴォークルールバルジの形成は粒子数の増加で抑えられるかもしれない ○?
- ◆ 再検討すべき点・今後の課題
 - ▶ 粒子数をさらに増やした時に、指数則は宇宙年齢程度の安定性を確保できるか
 - > 物理的意味の考察